
Abb. 4.30	Bewachte Eingänge	104
Abb. 4.31	Verwaltungsfunktion	106
Abb. 4.32	Windows-2000-Architektur [Win2000]	109
Abb. 4.33	Microkernel-Architektur [Sta2003]	109
Abb. 4.34	Prozesszustände	110
Abb. 4.35	Ereigniswarteschlangen	111
Abb. 4.36	Prozesszustände	112
Abb. 4.37	Zeitgrößen eins Rechenprozesses	112
Abb. 4.38	Phasenlage zum Zeitpunkt Null bei Rate Monotonic Analysis (RMA)	114
Abb. 4.39	Phasenlagen und Ausführbarkeit	114
Abb. 4.40	Rate Monotonic Analysis mit Erweiterungen	115
Abb. 4.41	Rate Monotonic Scheduling (RMS) am Beispiel	115
Abb. 4.42	Earliest Deadline First (EDF) am Beispiel	116
Abb. 4.43	Least Laxity First (LLF) am Beispiel	117
Abb. 4.44	Wechselwirkung zweier Prozesse	118
Abb. 4.45	Prozessbeispiel	121
Abb. 4.46	Zeichnerische Lösung von RMS	123
Abb. 4.47	Zeitgrößen für EDF (Restantwortzeit RAZ)	124
Abb. 4.48	Least-Laxity-First-Beispiel	130
Abb. 4.49	Zugriff auf gemeinsame Daten	131
Abb. 4.50	Prioritätsinversion	131
Abb. 4.51	Unbounded Blocking	132
Abb. 4.52	Prioritätsvererbung	133
Abb. 4.53	Deadlock	133
Abb. 4.54	Ceiling-Priority-System	134
Abb. 4.55	Ressourcenzugriffe	135
Abb. 4.56	Ceiling-Prioritäten der Ressourcen	135
Abb. 4.57	Zusammenspiel im Beispiel bei PCP	136
Abb. 4.58	Beispiel mit Testnachweis	137
Abb. 4.59	Beispiel nach Optimierung	138
Abb. 4.60	Beispiel Taskset und Ressourcenverbund	139
Abb. 5.1	Syntaktischer Fehler in der IF-Anweisung	147
Abb. 5.2	Syntaktisch fehlerhafter logischer Vergleich	148
Abb. 5.3	Syntaktische Struktur der If-Anweisung von Ada	148
Abb. 5.4	Konvertierung in C	148
Abb. 5.5	Gleitpunktzahl als Schleifenvariable	148
Abb. 5.6	Inkonsistente Repräsentation von Aufzählungswerten	149
Abb. 5.7	Regel zur Erhöhung der Lesbarkeit [Loc2005]	150
Abb. 5.8	Syntaktische Struktur der IF-Anweisung in Ada	150
Abb. 5.9	Ergebnis statische Analyse [Gan2012]	151
Abb. 5.10	Einbettung von Ada	153
Abb. 5.11	Typsystem in Ada [Ada2012]	161
Abb. 5.12	Auslagerung zur Komplexitätsbeherrschung	163

Abb. 5.13	Benutzt-Beziehung	163
Abb. 5.14	Modul mit privatem Typ und verborgener Implementierung	164
Abb. 5.15	Hierarchisch-modulare Architektur in Ada	165
Abb. 5.16	Beispiel eines „protected type“ [Ben2009]	166
Abb. 5.17	Zeitlich begrenztes Warten auf einen Aufruf	168
Abb. 5.18	Selektive Aufrufannahme mit zeitlich begrenztem Warten	169
Abb. 5.19	Beispiel Use Case	172
Abb. 5.20	Sequenzdiagramm Tee	173
Abb. 5.21	Klassendiagramm	173
Abb. 5.22	Stereotype Task	174
Abb. 5.23	Vererbungshierarchie	174
Abb. 5.24	Zustandsautomat	175
Abb. 5.25	Transformationsvorgang	176
Abb. 5.26	Typdefinition für Ereignisannahme	176
Abb. 5.27	Benutzerdefinierte Programmbereiche	177
Abb. 5.28	Task-Zustände [Mat2013]	177
Abb. 5.29	Task-Entries	177
Abb. 5.30	Ablaufverhalten der Task	178
Abb. 5.31	Spezifikation einer statischen Typinvariante	179
Abb. 5.32	Spezifikation einer dynamischen Typinvariante	180
Abb. 5.33	Spezifikation von Default-Werten	180
Abb. 5.34	Spezifikation eines Stack-Typs	180
Abb. 5.35	Spezifikation zur Überprüfung der Wirkung von Push mit „Old“	180
Abb. 6.1	Safety und IT-Security als zweiseitige Sicherheitsanforderung	186
Abb. 6.2	Risikobegriff [VDI2010]	189
Abb. 6.3	Redundanz und Funktionsdegradierung	189
Abb. 6.4	Safety Life Cycle [IEC2010]	191
Abb. 6.5	Safety Integrity Levels (nach [IEC1998])	192
Abb. 6.6	Vorgehen und Entscheidungslogik zur Erzeugung von Sicherheit (Safety), vgl. [Kel2018])	194
Abb. 6.7	Herausforderungen nach dem ZVEI [ZVEI2006]	196
Abb. 6.8	Funktionsebenen in der Security (vgl. auch [BSI2012])	200
Abb. 6.9	Anzahl der Produkte in industriellen Bereichen mit Schwachstellen im Jahr 2017 („Number of vulnerable products used in different industries“, [Kas2018])	202
Abb. 6.10	Angriffspunkte bei Windkraftanlagen nach [Rei2018]	203
Abb. 6.11	Verteilung der festgestellten Typen von Schwachstellen bei ICS-Systemen im Jahr 2017 („Most common vulnerability types“, [Kas2018])	204
Abb. 6.12	Zeitliche Entwicklung der Schwachstellen „Execute Code“, „Buffer Overflow“ und „Memory Corruption“ bei ICS-Systemen [CVE2018]	205
Abb. 6.13	Zeitliche Entwicklung der entdeckten Schwachstellen bei ICS-Systemen [CVE2018]	205

Abb. 6.14	Schwachstellen bei SCADA-Systemen [NST2010]	206
Abb. 6.15	Beispielhaftes IT-Security-Konzept bei SCADA-Systemen [Sie2018]	207
Abb. 6.16	Ebenen in der semantischen Absicherung gegen Cyber-Angriffe im Smart Energy Grid (vgl. [Hag2016])	208
Abb. 6.17	Diversität zur Manipulationsentdeckung [Ghe2011]	214
Abb. 6.18	Zertifizierte und offene Software	215
Abb. 6.19	Rückwirkungsfreie Schnittstelle über Stellvertreter	216
Abb. 6.20	Best Practices für Safety/Security [Ibr2004]	217
Abb. 6.21	Mathematische Definition einer Funktion mit definierter Eingabe- und Ausgabemenge	224
Abb. 6.22	Formale Definition einer Funktion entsprechend definierter Eingabemenge	224
Abb. 6.23	Nichtausschließliche Funktionsrealisierung mit zusätzlichen Freiheitsgraden	224
Abb. 6.24	Zeitliche Entwicklung der höchsten Kritikalität (grün) von Schwachstellen [NIST2018]	225
Abb. 6.25	Zeitliche Entwicklung von Schwachstellen im Detail [NIST2018]	226
Abb. 7.1	Beispielhafte LZP und Temperaturverlauf	232
Abb. 7.2	Vergleich gemessene/theoretische CTP eines binären Toluol-Ethanol-Gemisches	233
Abb. 7.3	Vergleich gemessene/theoretische CTP eines Nicht-Toluol-Ethanol-Gemisches	233
Abb. 7.4	Sensor als Hubsystem	234
Abb. 7.5	Tasks des Sensorsystems mit Zeitangaben	235
Abb. 7.6	Hubmagnetensteuerung	237
Abb. 7.7	Tasks des Sensorsystems mit Zeitangaben	238
Abb. 7.8	Sensorsystem mit Hubsensor und Rechnerplatine	238
Abb. 7.9	INSPECT-pro-control-System [Ker2001]	239
Abb. 7.10	Inspect-Komponenten	240
Abb. 7.11	Inspect-Benutzerschnittstellen	242
Abb. 7.12	Generierung von PSM aus PIM durch Transformation	243
Abb. 7.13	Profil für den MDA-Ansatz beim INSPECT-pro-control-System [Ker2001]	244
Abb. 7.14	Modellierter Zustandsautomat [Ker2001]	246
Abb. 7.15	Generiertes Schema für eine nebenläufige Task [Ker2001]	246
Abb. 7.16	Generierter Quelltext für Annahme von Entry-Aufrufen [Ker2001]	247

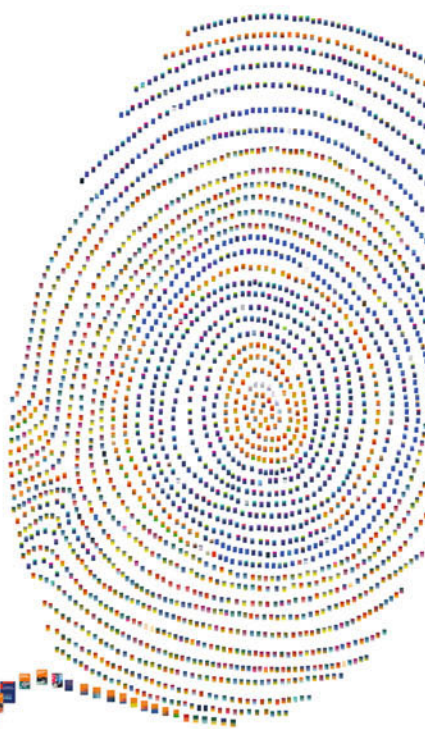
Tabellenverzeichnis

Tab. 1.1	Vergleich der Softwareumfänge und Fehlerraten in technischen Systemen (nach Tab. A.1)	4
Tab. 1.2	Erfolg bei Softwareprojekten [Stan2013]	6
Tab. 1.3	Kostenanteil von Elektronik [FAST2005]	10
Tab. 1.4	Typische Fehlerverteilung im Entwicklungsprozess [Linh2013]	12
Tab. 3.1	Funktionsbeispiel	67
Tab. 4.1	Beispielprozesse für LLF	128
Tab. 4.2	Laxity-Berechnung und LLF-Ausführung	129
Tab. 4.3	Vergleich EDF und RMA/RMS	142
Tab. 6.1	Expositionseinordnung	222
Tab. 6.2	Klassenfestlegung	223
Tab. 7.1	Tasks und geforderte Eigenschaften	236

Lizenz zum Wissen.

Sichern Sie sich umfassendes Technikwissen mit Sofortzugriff auf tausende Fachbücher und Fachzeitschriften aus den Bereichen: Automobiltechnik, Maschinenbau, Energie + Umwelt, E-Technik, Informatik + IT und Bauwesen.

Exklusiv für Leser von Springer-Fachbüchern: Testen Sie Springer für Professionals 30 Tage unverbindlich. Nutzen Sie dazu im Bestellverlauf Ihren persönlichen Aktionscode **C0005406** auf www.springerprofessional.de/buchaktion/



Jetzt
30 Tage
testen!

Springer für Professionals.

Digitale Fachbibliothek. Themen-Scout. Knowledge-Manager.

-  Zugriff auf tausende von Fachbüchern und Fachzeitschriften
-  Selektion, Komprimierung und Verknüpfung relevanter Themen durch Fachredaktionen
-  Tools zur persönlichen Wissensorganisation und Vernetzung

www.entschieden-intelligenter.de

Springer für Professionals

 Springer